

Rappels

Principe

$$\text{Hamiltonien } H = H_A + H_R - e \vec{r} \cdot \vec{E}(\vec{0}, t)$$

$$\frac{d}{dt} a_{kE} = \frac{1}{i\hbar} [a_{kE}, H]$$

Eq. de Maxwell avec sources

$$\vec{E}(\vec{x}, t) = \vec{E}_0(\vec{x}, t) + \vec{E}_s(\vec{x}, t)$$

↑ Champ du vide    ↑ Champ des sources

$$\frac{d\vec{r}}{dt} = \frac{1}{i\hbar} [\vec{r}, H] \quad \frac{d\vec{p}}{dt} = \frac{1}{i\hbar} [\vec{p}, H]$$

Eq. de Newton avec champ

$$\frac{d}{dt} \vec{p}(t) = \frac{1}{i\hbar} [\vec{p}, H_A] + e \vec{E}(\vec{0}, t)$$

$$\vec{x} = \vec{0}$$

On obtient ainsi

$$m_0 \frac{d^2 \vec{r}}{dt^2} = - \vec{\nabla} H_A + e \vec{E}_s(\vec{0}, t) + e \vec{E}_0(\vec{0}, t)$$

↑ Force atomique    ↑ Force due au champ des sources    ↑ Force due au champ du vide

En explicitant  $\vec{E}_s$  et  $H_A$

$$(m_0 + \delta m) \frac{d^2 \vec{r}}{dt^2} = - \vec{\nabla} V(\vec{r}) + \frac{e^2}{4\pi\epsilon_0} \frac{1}{3c^2} \ddot{\vec{r}} + e \vec{E}_0(\vec{0}, t)$$

↑ Inertie électromagnétique    ↑ Réaction de rayonnement

$\delta m = \frac{e^2 \hbar m}{3\pi^2 \epsilon_0 c^2}$

Plan de ce cours

1 - Introduction

Intérêt d'étudier des observables autres que  $\vec{r}$  et  $\vec{p}$  (T1)  
 Modèles très simplifiés d'atomes - les avantages, les dangers, les notations (T2 à T4)

2 - Retour sur le champ rayonné par le dipôle à son propre emplacement

Aspects nouveaux par rapport au calcul précédent (T5)  
 Calcul et approximations (T6 à T8)  
 Interprétation physique (T9 à T10)

3 - Equations de Heisenberg pour l'oscillateur harmonique

Calcul et interprétation physique (T11 à T13)

4 - Equations de Heisenberg pour l'atome à 2 niveaux

Calcul et interprétation physique (T14 à T20)

T1]

$\vec{r}$  et  $\vec{p}$  ne sont pas les seules observables atomiques intéressantes.

Les mêmes spectroscopies donnent plutôt les fréquences de Bohr atomiques  $(E_p - E_n)/h$

$$\begin{array}{l} \text{---} |\varphi_q\rangle \\ \text{---} |\varphi_p\rangle \\ \text{---} |\varphi_n\rangle \end{array} \quad \begin{array}{l} H_A |\varphi_n\rangle = E_n |\varphi_n\rangle \\ S_{np} = |\varphi_n\rangle \langle \varphi_p| \\ \frac{d}{dt} S_{np} = \frac{i}{\hbar} [S_{np}, H] \end{array}$$

Peut-on obtenir une équation simple décrivant l'évolution de  $S_{np}$  sous l'effet du processus d'émission ?

Quels sont les rôles respectifs du champ du vide et du champ des sources dans l'élargissement et le déplacement radiatifs des raies atomiques ?

Le champ du vide est-il essentiel ?

T3]

### Atomes à 2 niveaux

Opérateurs  $S_+, S_-, S_z$

$$\begin{array}{c} |e\rangle \\ \updownarrow \omega_0 \\ |g\rangle \end{array} \quad \begin{cases} S_+ = |e\rangle \langle g| \\ S_- = |g\rangle \langle e| \\ S_z = \frac{1}{2} (|e\rangle \langle e| - |g\rangle \langle g|) \end{cases}$$

$$|e\rangle \langle e| + |g\rangle \langle g| = 1$$

Dipole atomique  $\vec{D}$

Vibre le long de  $Oz$

$$D_i = \delta_{iz} d (S_+ + S_-)$$

$d$ : nombre réel ayant les dimensions d'un dipole

Hamiltonien atomique  $H_A$

$$H_A = \hbar \omega_0 S_z$$

(Terme de "self-énergie"  $A_2 \sim \mathbb{1}$ )

Evolution non perturbée de  $S_{\pm}$

$$S_{\pm}(t) \sim e^{\pm i\omega_0(t-t_0)} S_{\pm}(t_0)$$

T.2]

IX-2

### Modèles simples à 2 niveaux

Très nombreux articles

Avantages

- Calculs plus simples
- Analogie avec des spins  $1/2$  ("Equations de Bloch optiques").

Dangers

- Base incomplète d'états  
Effets non résonnants (déplacements) impossibles à calculer exactement
- Renormalisation  
Ne peut être discutée sérieusement
- On perd l'aspect position et impulsion  
Image de la charge vibrant sous l'effet du champ du vide et moyennant le potentiel atomique dans un volume fini.  
(Interprétation du "Lamb-shift" par Welton)

T4]

### Un autre système simple

Oscillateur harmonique à 1 dimension

Hamiltonien  $H_A$

$$H_A = \hbar \omega_0 (b^\dagger b + \frac{1}{2})$$

Dipole  $\vec{D}$

Vibre le long de  $Oz$

$$D_i = \delta_{iz} d (b^\dagger + b)$$

Comparaison avec le système à 2 niveaux

(i) Dans les 2 cas

$$D_i = \delta_{iz} d (A_+ + A_-)$$

avec  $A_{\pm}(t) \sim e^{\pm i\omega_0 t}$

Une seule fréquence propre pour  $D_z$

(ii) L'oscillateur harmonique est linéaire.

Le système à 2 niveaux est non-linéaire.

### T-5] Calcul du champ rayonné par le dipôle à son propre emplacement

Aspects nouveaux (par rapport au calcul précédent)

- ① - Pour la suite de la discussion, il faut calculer  $\vec{E}^{(\pm)}(\vec{0}, t)$  (et non pas seulement  $\vec{E}(\vec{0}, t)$ )
- ② Moyennant certaines approximations, on peut exprimer  $\vec{E}^{(\pm)}(\vec{0}, t)$  en fonction de  $\vec{D}(t)$  seulement (au lieu de  $\vec{D}, \ddot{\vec{D}}, \dddot{\vec{D}}$ )
- ③ Les coefficients des équations reliant  $\vec{E}^{(\pm)}(\vec{0}, t)$  à  $\vec{D}(t)$  sont proportionnels aux élargissements et déplacements radiatifs des niveaux

T6]

Rappel de l'expression de  $a_{kE}(t)$

$$a_{kE}(t) = a_{kE}(t_0) e^{-i\omega(t-t_0)} \leftarrow \text{vide}$$

$$+ \frac{N_k}{\hbar} \int_0^{t-t_0} d\tau E_j D_j(t-\tau) e^{-i\omega\tau} \leftarrow \text{source}$$

Report dans le développement de  $\vec{E}^{(+)}(\vec{0}, t)$

$$E_i^{(+)}(\vec{0}, t) = \sum_{\vec{k} \in \mathcal{E}} i N_k E_i a_{kE}(t) =$$

$$E_{oi}^{(+)}(\vec{0}, t) + \int_0^{t-t_0} d\tau F_{ij}^{(+)}(\tau) D_j(t-\tau)$$

$$F_{ij}^{(+)}(\tau) = \frac{2}{3} \delta_{ij} \frac{i}{\hbar} \sum_{k < k_m} N_k^2 e^{-i\omega\tau}$$

$F_{ij}^{(+)}(\tau)$  : fonction "étroite", centrée en  $\tau=0$ , de largeur  $1/c k_m$

Valeur de  $D_{ij}(t-\tau)$  dans les modèles simples étudiés ici

$$D_{ij}(t-\tau) = \delta_{ij} d [A_+(t-\tau) + A_-(t-\tau)]$$

T-7]

Enfinement,

$$E_i^{(+)}(\vec{0}, t) - E_{oi}^{(+)}(\vec{0}, t) = d \delta_{i3} \int_0^{t-t_0} d\tau F_{ij}^{(+)}(\tau) [A_+(t-\tau) + A_-(t-\tau)]$$

Approximation (ordre le plus bas en  $d$ )

A cause de la présence de  $F_{ij}^{(+)}(\tau)$ , seules les valeurs très faibles de  $\tau$  contribuent. L'évolution de  $A_{\pm}$  entre  $t$  et  $t-\tau$  peut être remplacée par l'évolution non perturbée

$$A_{\pm}(t-\tau) = A_{\pm}(t) e^{\mp i\omega_0\tau}$$

Ceci fait apparaître une double intégrale en  $\tau$  et en  $k$  entièrement calculable (voir pages VII-5 et VII-6)

Approximation équivalente dans le calcul faisant apparaître  $\ddot{\vec{D}}$  et  $\ddot{\vec{D}}$

$$\dot{A}_+ = i\omega_0 A_+ \quad \ddot{A}_+ = -\omega_0^2 A_+ \quad \ddot{\ddot{A}}_+ = -i\omega_0^3 A_+$$

T8]

Résultats du calcul

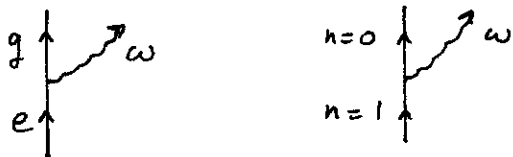
$$E_i^{(+)}(\vec{0}, t) - E_{oi}^{(+)}(\vec{0}, t) = \pm \frac{i\hbar}{d} \delta_{i3} \left[ \left( \frac{\gamma}{2} \pm i\delta \right) S_{\mp}(t) \pm i\bar{\delta} S_{\pm}(t) \right]$$

avec

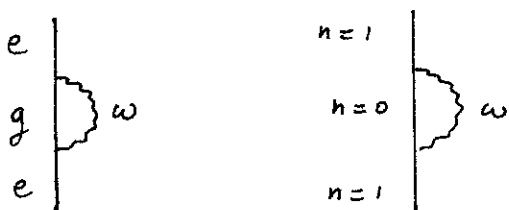
$$\left\{ \begin{aligned} \gamma &= \frac{2\pi}{\hbar} \sum_{\vec{k} \in \mathcal{E}} d^2 E_3^2 N_k^2 \delta(\hbar\omega - \hbar\omega_0) \\ \delta &= \frac{1}{\hbar} \mathcal{P} \sum_{\vec{k} \in \mathcal{E}} \frac{d^2 E_3^2 N_k^2}{\hbar\omega_0 - \hbar\omega} \\ \bar{\delta} &= \frac{1}{\hbar} \mathcal{P} \sum_{\vec{k} \in \mathcal{E}} \frac{d^2 E_3^2 N_k^2}{-\hbar\omega_0 - \hbar\omega} \end{aligned} \right.$$

Composante en quadrature avec  $S_{\pm}$  proportionnelle à  $\gamma$

T 9

Interprétation de  $\gamma$ 

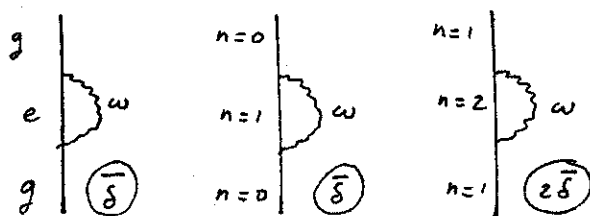
Probabilité d'émission spontanée d'un photon par unité de temps  
(Règle d'or de Fermi)

Interprétation de  $\delta$ 

Déplacement radiatif dû à l'émission et à la réabsorption virtuelle d'un photon (l'atome passant virtuellement dans un niveau inférieur)

IX-4

T 10

Interprétation de  $\bar{\delta}$ 

Déplacement radiatif dû à l'émission et à la réabsorption virtuelle d'un photon (l'atome passant virtuellement dans un niveau supérieur)

Récapitulation pour les déplacements

- Systèmes à 2 niveaux

$$\delta_e = \delta \quad \delta_g = \bar{\delta}$$

- Oscillateur harmonique

$$\delta_1 = \delta + 2\bar{\delta} \quad \delta_0 = \bar{\delta}$$

T 11

Equations de Heisenberg pour l'oscillateur harmonique

$$H = \hbar\omega_0 [b^\dagger(t)b(t) + \frac{1}{2}] + H_R - d [b^\dagger(t) + b(t)] E_z(\vec{0}, t)$$

$$\frac{d}{dt} b(t) = \frac{1}{i\hbar} [b(t), H] = -i\omega_0 b(t) - \frac{d}{i\hbar} E_z(\vec{0}, t)$$

$$E_z(\vec{0}, t) = E_{0z}(\vec{0}, t) + \frac{i\hbar}{d} \left[ \left( \frac{\gamma}{2} + i\delta + i\bar{\delta} \right) b(t) - \left( \frac{\gamma}{2} - i\delta - i\bar{\delta} \right) b^\dagger(t) \right]$$

$$\frac{d}{dt} b(t) = -i\omega_0 b(t) + \frac{id}{\hbar} E_{0z}(\vec{0}, t) - \left( \frac{\gamma}{2} + i\delta + i\bar{\delta} \right) b(t) + \left( \frac{\gamma}{2} - i\delta - i\bar{\delta} \right) b^\dagger(t)$$

On néglige ce couplage "non-seculaire" entre  $b$  et  $b^\dagger$  (r.w.o.)

T 12

Finalement,

$$\frac{d}{dt} b(t) = -\frac{\gamma}{2} b(t) - i(\omega_0 + \delta\omega_0) b(t) + \frac{id}{\hbar} E_{0z}(\vec{0}, t)$$

$$\text{avec } \delta\omega_0 = \delta + \bar{\delta} = \delta_1 - \delta_0$$

Analogie avec une équation de Langevin les termes en  $\gamma/2$  et  $\delta\omega_0$  proviennent de l'interaction de l'oscillateur avec son propre champ

Valeurs moyennes

- Etat initial du champ : vide ou état cohérent

$$|\Psi_R(t_0)\rangle = |0\rangle \quad \text{ou} \quad |\Psi_R(t_0)\rangle = |\{\alpha\}\rangle$$

$$\langle 0 | E_{0z}(\vec{0}, t) | 0 \rangle = 0$$

$$\langle \{\alpha\} | E_{0z}(\vec{0}, t) | \{\alpha\} \rangle = E_{0z}(\vec{0}, t, \{\alpha\})$$

Champ classique associé à  $\{\alpha\}$

T-13

Si l'on pose

$$\langle b(t) \rangle_R = \langle \Psi_R(t_0) | b(t) | \Psi_R(t_0) \rangle$$

$$\frac{d}{dt} \langle b(t) \rangle_R =$$

$$-\frac{\chi}{2} \langle b(t) \rangle_R - i(\omega_0 + \delta\omega_0) \langle b(t) \rangle_R + \begin{cases} 0 \\ \frac{i d}{\hbar} E_{03}(\vec{0}, t) \end{cases}$$

Equation d'un oscillateur amorti, attaqué par un champ classique (éventuellement nul si  $|\Psi_R(t_0)\rangle = |0\rangle$ )

Conclusions

① le déplacement de fréquence et l'amortissement sont dus uniquement à la réaction de rayonnement

② Pour les valeurs moyennes, le champ libre ne joue aucun rôle dans le vide, a le même effet qu'un champ classique s'il est dans un état cohérent.

La quantification du champ ne semble jouer aucun rôle.

T-14

Equations de Heisenberg

IX-5

pour l'atome à 2 niveaux

$$H = \hbar\omega_0 S_z(t) + H_R - d [S_+(t) + S_-(t)] E_3(\vec{0}, t)$$

$$[S_+(t), S_-(t)] = 2S_z(t) \quad [S_z(t), S_{\pm}(t)] = \pm S_{\pm}(t)$$

$$\frac{d}{dt} S_+(t) = \frac{1}{i\hbar} [S_+(t), H]$$

$$\frac{d}{dt} S_+(t) = i\omega_0 S_+(t) + \frac{2id}{\hbar} S_z(t) E_3(\vec{0}, t)$$

$$\frac{d}{dt} S_z(t) = \frac{1}{i\hbar} [S_z(t), H]$$

$$\frac{d}{dt} S_z(t) = \frac{id}{\hbar} [S_+(t) - S_-(t)] E_3(\vec{0}, t)$$

$E_3(\vec{0}, t)$  n'apparaît pas seul (comme pour l'oscillateur harmonique) mais multiplié par un opérateur atomique (Effet des non-linéarités)

T-15

Problème de l'ordre des opérateurs

A l'instant initial  $t_0$ , les opérateurs atomiques  $\{S_{\pm}(t_0), S_z(t_0)\}$  commutent avec les opérateurs de champ  $\{E_i^{(\pm)}(\vec{x}, t_0) \dots\}$

L'évolution hamiltonienne entre  $t_0$  et  $t$  conserve ces commutateurs. Les opérateurs "atomiques"  $S_{\pm}(t), S_z(t)$  commutent avec les champs totaux  $\{E_i^{(\pm)}(\vec{x}, t) \dots\}$ . On peut donc écrire

$$\begin{aligned} S_z(t) E_3(\vec{0}, t) &= S_z(t) [E_3^{(+)}(\vec{0}, t) + E_3^{(-)}(\vec{0}, t)] \\ &= S_z(t) E_3^{(+)}(\vec{0}, t) + E_3^{(-)}(\vec{0}, t) S_z(t) \leftarrow \text{Ordre normal} \\ &= E_3^{(+)}(\vec{0}, t) S_z(t) + S_z(t) E_3^{(-)}(\vec{0}, t) \leftarrow \text{Ordre antinormal} \\ &= \frac{1}{2} [S_z(t) E_3^{(+)}(\vec{0}, t) + E_3^{(+)}(\vec{0}, t) S_z(t) \\ &+ S_z(t) E_3^{(-)}(\vec{0}, t) + E_3^{(-)}(\vec{0}, t) S_z(t)] \leftarrow \text{Ordre symétrique} \\ &= \dots \end{aligned}$$

T-16

Remarque importante

Les opérateurs "atomiques"  $S_{\pm}(t), S_z(t)$  commutent avec le champ total  $\vec{E}(t)$ , non avec le champ du vide  $\vec{E}_0(t)$  et le champ des sources.

Exemple : De la formule donnée plus haut pour  $E_i^{(\pm)}(\vec{0}, t) - E_{0i}^{(\pm)}(\vec{0}, t)$  et de  $[G_A(t), E_i^{(\pm)}(\vec{0}, t)] = 0$  (où  $G_A$  est un opérateur atomique), on déduit

$$\begin{aligned} [G_A(t), E_{0i}^{(\pm)}(\vec{0}, t)] &= \\ &= \frac{i\hbar}{d} \delta_{i3} \left\{ \left( \frac{\chi}{2} \pm i\delta \right) [G_A(t), S_{\mp}(t)] \right. \\ &\quad \left. \pm i\bar{\delta} [G_A(t), S_{\pm}(t)] \right\} \end{aligned}$$

Un opérateur atomique initialement "pur" devient à l'instant  $t$  "contaminé" par le rayonnement

T-17

Equations de Heisenberg pour l'atome à 2 niveaux - Ordre normal.

Calculs pour  $S_+(t)$

$$\frac{d}{dt} S_+(t) = i\omega_0 S_+(t) + \frac{2id}{\hbar} [S_3(t) E_3^{(+)}(\vec{0}, t) + E_3^{(-)}(\vec{0}, t) S_3(t)]$$

On remplace  $E_3^{(\pm)}(\vec{0}, t)$  par les expressions données plus haut.

$$\begin{aligned} \frac{d}{dt} S_+(t) &= i\omega_0 S_+(t) + \frac{2id}{\hbar} [S_3(t) E_{03}^{(+)}(\vec{0}, t) + E_{03}^{(-)}(\vec{0}, t) S_3(t)] \\ &+ \frac{2id}{\hbar} \left(\frac{i\hbar}{d}\right) \left[ \left(\frac{\gamma}{2} + i\delta\right) \underbrace{S_3(t) S_-(t)}_{-\frac{1}{2} S_+(t)} + i\bar{\delta} \underbrace{S_3(t) S_+(t)}_{\frac{1}{2} S_+(t)} \right] \\ &+ \frac{2id}{\hbar} \left(\frac{-i\hbar}{d}\right) \left[ \left(\frac{\gamma}{2} - i\delta\right) \underbrace{S_+(t) S_3(t)}_{-\frac{1}{2} S_+(t)} - i\bar{\delta} \underbrace{S_-(t) S_3(t)}_{\frac{1}{2} S_-(t)} \right] \end{aligned}$$

Couplages non-séculaires entre  $S_+(t)$  et  $S_-(t)$  négligés

T-19

Calculs analogues pour  $S_3$

$$\frac{d}{dt} S_3(t) = \frac{id}{\hbar} \left\{ [S_+(t) - S_-(t)] E_3^{(+)}(\vec{0}, t) + E_3^{(-)}(\vec{0}, t) [S_+(t) - S_-(t)] \right\}$$

$$\downarrow$$

$$\frac{d}{dt} S_3(t) = -\gamma \left[ \frac{1}{2} + S_3(t) \right]$$

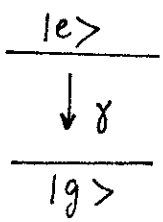
$$+ \frac{id}{\hbar} \left\{ [S_+(t) - S_-(t)] E_{03}^{(+)}(\vec{0}, t) + E_{03}^{(-)}(\vec{0}, t) [S_+(t) - S_-(t)] \right\}$$

Valeur moyenne dans le vide

$$\frac{d}{dt} \langle S_3(t) \rangle_R = -\gamma \left[ \frac{1}{2} + \langle S_3(t) \rangle_R \right]$$

$$P_e = |e\rangle\langle e| \quad P_g = |g\rangle\langle g|$$

$$P_e(t) + P_g(t) = 1 \quad \frac{1}{2} (P_e(t) - P_g(t)) = S_3(t)$$



$$\left\{ \begin{array}{l} \frac{d}{dt} \langle P_e(t) \rangle_R = -\gamma \langle P_e(t) \rangle_R \\ \frac{d}{dt} \langle P_g(t) \rangle_R = \gamma \langle P_e(t) \rangle_R \end{array} \right.$$

T-18

IX-6

En regroupant tout (avec  $\delta\omega_0 = \delta - \bar{\delta} = \delta e - \delta g$ )

$$\frac{d}{dt} S_+(t) = i(\omega_0 + \delta\omega_0) S_+(t) - \frac{\gamma}{2} S_+(t) + \frac{2id}{\hbar} [S_3(t) E_{03}^{(+)}(\vec{0}, t) + E_{03}^{(-)}(\vec{0}, t) S_3(t)]$$

Valeur moyenne dans le vide

Comme  $E_{03}^{(+)}(\vec{0}, t) |0\rangle = 0 = \langle 0 | E_{03}^{(-)}(\vec{0}, t)$   
Le champ du vide ne contribue pas

$$\frac{d}{dt} \langle S_+(t) \rangle_R = i(\omega_0 + \delta\omega_0) \langle S_+(t) \rangle_R - \frac{\gamma}{2} \langle S_+(t) \rangle_R$$

Valeur moyenne dans un état cohérent  $|\{\alpha\}\rangle$

$$E_{03}^{(+)}(\vec{0}, t) |\{\alpha\}\rangle = E_{03}^{(+)}(\vec{0}, t, \{\alpha\}) |\{\alpha\}\rangle$$

$$\langle \{\alpha\} | E_{03}^{(-)}(\vec{0}, t) = E_{03}^{(-)}(\vec{0}, t, \{\alpha\}) \langle \{\alpha\} |$$

$$\begin{aligned} \frac{d}{dt} \langle S_+(t) \rangle_R &= i(\omega_0 + \delta\omega_0) \langle S_+(t) \rangle_R - \frac{\gamma}{2} \langle S_+(t) \rangle_R \\ &+ \frac{2id}{\hbar} E_{03}(\vec{0}, t) \langle S_3(t) \rangle_R \end{aligned}$$

Equations de Bloch avec relaxation ( $\frac{\gamma}{2}$ ) déplacement ( $\delta\omega_0$ ), et couplage avec un champ classique.

T-20

Conclusions pour l'atome à 2 niveaux

- ① Avec l'ordre normal, l'élargissement et le déplacement radiatifs de la transition atomique, les transferts radiatifs entre e et g, semblent dus uniquement à la réaction de rayonnement
- ② Pour les valeurs moyennes, et pour un champ libre dans un état cohérent, on justifie rigoureusement les "équations de Bloch optiques" décrivant l'évolution de  $\langle S_+(t) \rangle$ ,  $\langle S_3(t) \rangle$  sous l'effet d'une excitation par un champ classique et d'une relaxation

là encore, on a l'illusion qu'on peut se passer de la quantification du rayonnement.